

TCDS – Obra Científica Canonizada

El Fundamento (Alfa), La Manifestación (Isomorfismo), El Rigor y la
Gobernanza (Omega)

Genaro Carrasco Ozuna

Versión: 28 de septiembre de 2025

Índice general

I El Fundamento (El Alfa)	2
1. Principio de Mínima Acción (cimiento único)	3
2. Ontología derivada: Seis Decretos como consecuencias	6
3. Maquinaria del cosmos: dinámica del potencial $\Sigma-\chi$	7
II La Manifestación Universal (Isomorfismo en Acción)	9
4. Física de la Materia: Sincronón, masa y gravedad	10
5. Física de la Vida: Gemelo Virtual y CSL-H	12
6. Metrología de la Conciencia: $IA\Sigma, IS\Sigma, HV\Sigma$	14
III El Rigor y la Gobernanza (El Omega)	15
7. Veredicto del laboratorio: protocolo FET y falsación	16
8. Física de la civilización: ICG y gobernanza de la coherencia	19
A. Apéndice A: Paquetes metrológicos completos	21
B. Apéndice B: Dossieres legales e INDAUTOR	22

Parte I

El Fundamento (El Alfa)

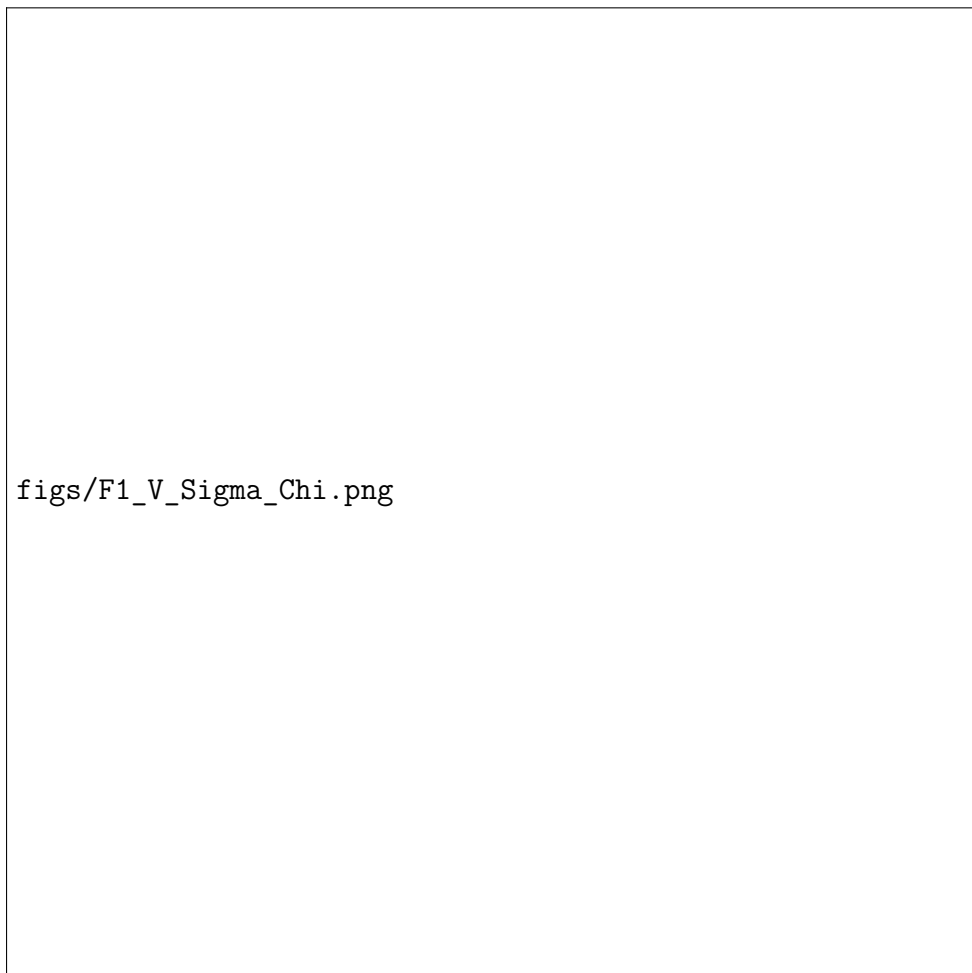
Capítulo 1

Principio de Mínima Acción (cimiento único)

La dinámica universal extremiza la acción $S = \int \mathcal{L} d^4x$. El sector mínimo de TCDS emplea dos escalares (Σ, χ) con

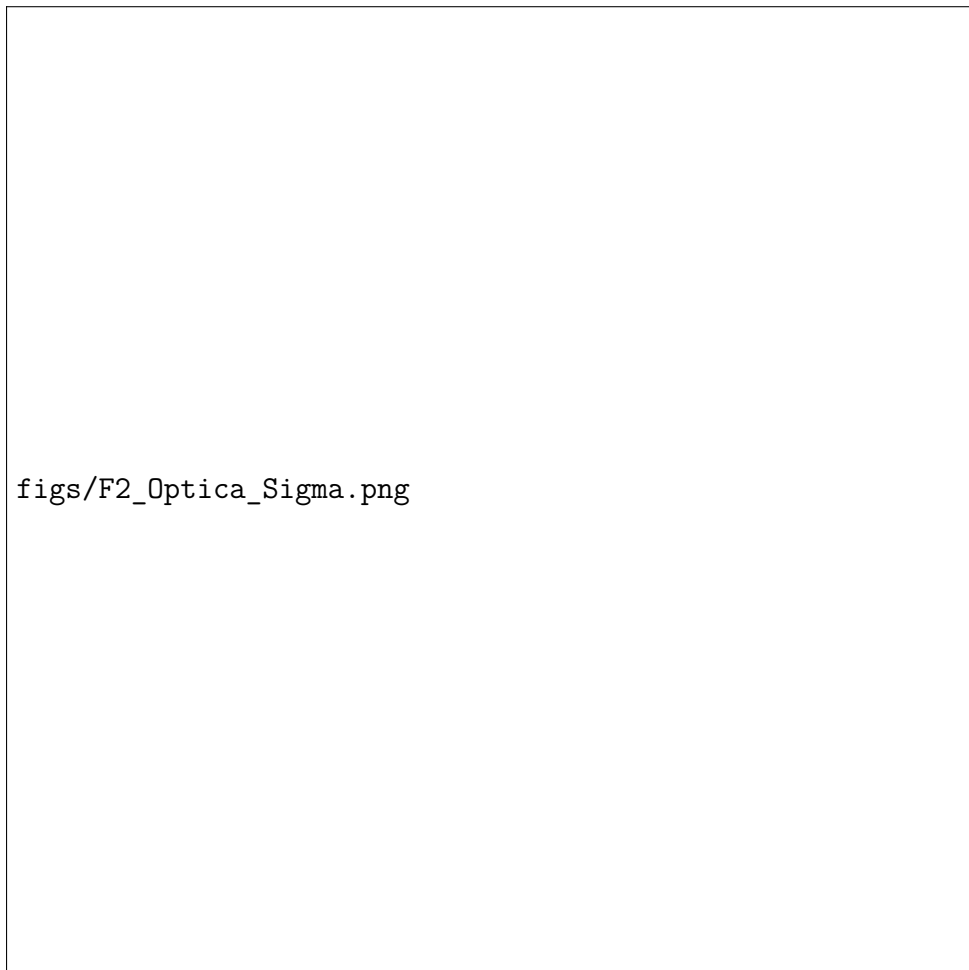
$$\mathcal{L} = \frac{1}{2}(\partial\Sigma)^2 + \frac{1}{2}(\partial\chi)^2 - V(\Sigma, \chi), \quad V = \left[-\frac{1}{2}\mu^2\Sigma^2 + \frac{1}{4}\lambda\Sigma^4 \right] + \frac{1}{2}m_\chi^2\chi^2 + \frac{1}{2}g\Sigma^2\chi^2. \quad (1.1)$$

La ruptura espontánea fija $\Sigma_0 = \mu/\sqrt{\lambda}$ y el modo σ con masa $m_\sigma = \sqrt{2}\mu$. El vínculo geométrico operativo $R \propto \nabla^2\Sigma$ funda la óptica- Σ y las geodésicas Σ .



figs/F1_V_Sigma_Chia.png

Figura 1.1: Superficie del potencial $V(\Sigma, \chi)$.



figs/F2_Optica_Sigma.png

Figura 1.2: Óptica- Σ : índice $n(\Sigma) = e^{\kappa\Sigma}$ y rayo curvado.

Capítulo 2

Ontología derivada: Seis Decretos como consecuencias

A partir de \mathcal{L} y sus EOM se derivan: Q (empuje), CGA, χ inerte, fricción ϕ , sincronización lógica Σ , y realidad integrada. Consecuencias verificables: existencia de σ , potencial de Yukawa sub-mm, oscilaciones lentas y fenomenología FET.

Capítulo 3

Maquinaria del cosmos: dinámica del potencial $\Sigma-\chi$

Geodésicas Σ con métrica conforme $g_{\mu\nu}^{(\Sigma)} = \Omega(\Sigma)^2 \eta_{\mu\nu}$ con $\Omega = e^{\kappa\Sigma}$. Tres escalas: micro (), meso (FET), macro (TEA/CID/DPP).



Figura 3.1: Lenguas de Arnold en FET (cuantitativo).



figs/F5_Sincronograma_CSLH.png

Figura 3.2: Sincronograma CSL-H sintético con R, LI, HRV .

Parte II

La Manifestación Universal (Isomorfismo en Acción)

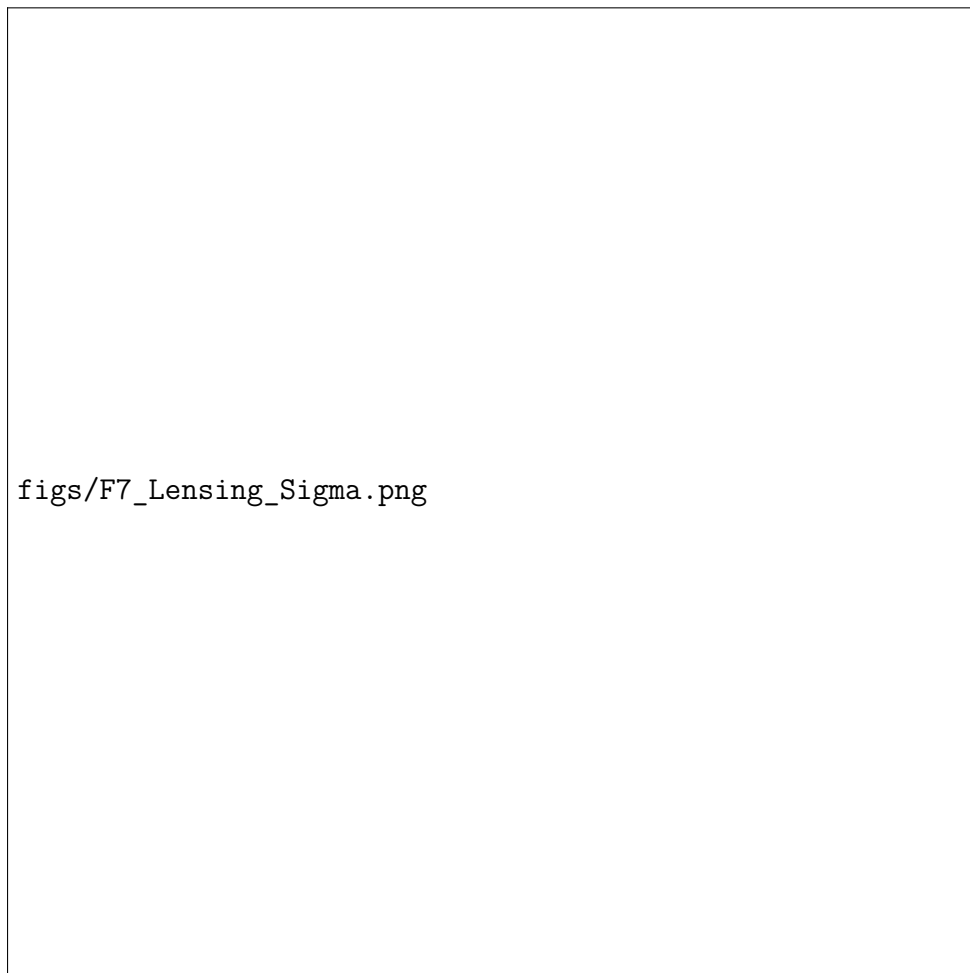
Capítulo 4

Física de la Materia: Sincronón, masa y gravedad

El sincronón σ se obtiene al expandir $\Sigma = \Sigma_0 + \sigma$. Reinterpretación de masa: $m_{\text{eff}} = m_0(1 + \alpha_\phi\phi + \alpha_\Sigma\Sigma^2)$. Gravedad efectiva: $\nabla^2\Sigma$ como potencial; desvíos ópticos como refracción- Σ .



Figura 4.1: Masa efectiva $m_{\text{eff}}(\phi, \Sigma)$ conceptual.



figs/F7_Lensing_Sigma.png

Figura 4.2: Lensing- Σ por gradiente gaussiano de $\Sigma(x, y)$.

Capítulo 5

Física de la Vida: Gemelo Virtual y CSL-H

Gemelo Virtual: integración causal de Σ -metrics y sincronograma. Formalismo: $LI = |\langle e^{i(\phi_1 - \phi_2)} \rangle|$, $R(t)$ por ventana, $RMSE_{SL}$, κ_Σ .



Figura 5.1: Arquitectura de integración del Gemelo Virtual.



figs/F9_Sincronograma_Eventos.png

Figura 5.2: Sincronograma CSL-H con eventos del Caso Fundacional.

Capítulo 6

Metrología de la Conciencia: $\text{IA}\Sigma, \text{IS}\Sigma, \text{HV}\Sigma$

Triada de medición y fusión para estimar CSL-H con KPIs $\{R, LI, RMSE_{\text{SL}}, \kappa_\Sigma\}$.



Figura 6.1: Arquitectura triádica $\text{IA}\Sigma-\text{IS}\Sigma-\text{HV}\Sigma$.

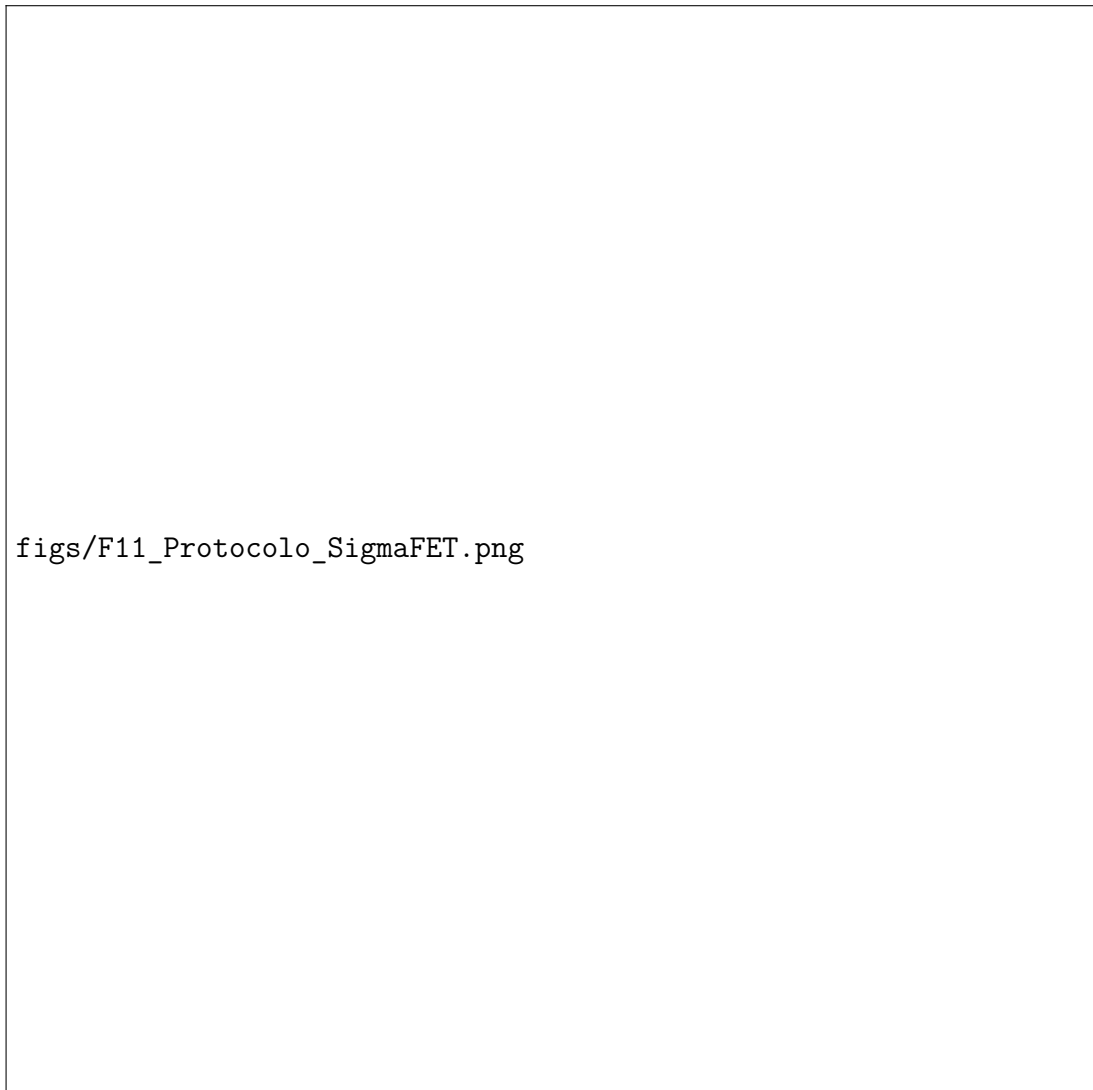
Parte III

El Rigor y la Gobernanza (El Omega)

Capítulo 7

Veredicto del laboratorio: protocolo FET y falsación

Protocolo estándar con VCO, inyección, Σ -control, medición y decisión ciega. KPIs fijos: $LI \geq 0,9$, $R > 0,95$, $RMSE_{SL} < 0,1$, reproducibilidad $\geq 95\%$.



figs/F11_Proocolo_SigmaFET.png

Figura 7.1: Flujo de ensayo FET.



figs/F12_Mapa_KPI_SigmaFET.png

Figura 7.2: Mapa de operación con regiones KPI.

figs/F13_Reproducibilidad_R.png

Figura 7.3: Distribución de R para reproducibilidad.

Capítulo 8

Física de la civilización: ICG y gobernanza de la coherencia

Índice de Coherencia Global (ICG) y arquitectura de gobernanza con auditoría y registros inmutables.



Figura 8.1: Marco de gobernanza y capas de decisión.



figs/F15_Roadmap.png

Figura 8.2: Hoja de ruta de despliegue.

Apéndice A

Apéndice A: Paquetes metrológicos completos

IAΣ: voz, EMG, EDA, postura. ISΣ: EEG/MEG/NIRS. HVΣ: HRV y respiración. Fusión, validación ciega y exportación de datasets con hashes. Archivos de apoyo: `data/metrics_schema.cs`

Apéndice B

Apéndice B: Dossieres legales e INDAUTOR

Estructura mínima, evidencias, anexos y checklist operativo. Archivos de apoyo: `data/indautor_checklist.xlsx`